

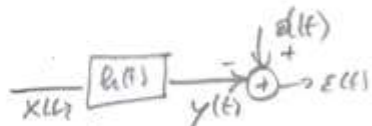
FILTRO A MINIMA DISTORSIONE

Appunti delle lezioni del
Corso di Teoria dei Segnali
Università delle Campane
"Luigi Vanvitelli"

A.A. 2023-24

Prof. FRANCESCO A.N. PALMIERI

La progettazione di un sistema lineare seguendo il paradigma "reper visionato", si prenderà come segue.



$x(t)$ è il segnale osservato, $d(t)$ è il segnale "desiderato", e si vuole minimizzare una misura dello differenza $E(t)$ tra $d(t)$ e $x(t)$.

Ovviamente nell'utilizzo del filtro $h(t)$ non è disponibile la progettazione di $h(t)$ che va a seguire uno procedura probabilistica o essere opposto dai dati (data-driven).

Non ci occupiamo qui di una standard procedura Sob-Deiver, ma piuttosto di una tecnica basata nel modello. Le quantità non che $x(t)$ e $d(t)$ sono processi stocastici e conseguentemente stocastici. È evidente che $x(t)$ e $d(t)$ non possono essere indipendenti: altrimenti la storia di

uno dell'altro non avrebbe alcun senso.

Assumiamo per semplicità che $x(t)$ sia un processo a media nulla.

$$\text{Il processo differenza è:} \\ E(t) = d(t) - (h \times x)(t)$$

ed è un processo stocastico. Il nostro obiettivo

$$\text{è} \\ h^0(t) = \underset{h(t)}{\text{argmin}} E[E^2(t)]$$

ovvero minimizzare l'errore quadratico medio. La soluzione segue immediatamente una semplice.

La funzione che "costa" da minimizzare è

$$\mathcal{E}(h) = E[\varepsilon^2(h)] = E[(d(h) - \hat{h}x(t))^2]$$

$$= E\left[d(h) - \int_{-\infty}^{+\infty} h(s) x(t-s) ds\right]^2$$

$\mathcal{E}(h)$ è una funzione quadratica di $h(t)$. Vediamo:

$$\begin{aligned}\mathcal{E}(h) &= E[d(h)^2] = 2 \int_{-\infty}^{+\infty} h(s) E[d(h) \times (t-s)] d(s) + E\left[\int_{-\infty}^{+\infty} h(s) x(t-s) ds\right]^2 \\ &= \sigma_d^2 - 2 \int_{-\infty}^{+\infty} h(s) R_{dx}(s) ds + t \left[\int_{-\infty}^{+\infty} h(s_1) x(t-s_1) ds_1 \int_{-\infty}^{+\infty} h(s_2) x(t-s_2) ds_2 \right] \\ &= \sigma_d^2 - 2 \int_{-\infty}^{+\infty} h(s) R_{dx}(s) ds + \int_{-\infty}^{+\infty} \int_{-\infty}^{+\infty} h(s_1) h(s_2) \frac{E[x(t-s_1)x(t-s_2)] ds_1 ds_2}{R_x(s_2-s_1)} \\ &= \sigma_d^2 - 2 \int_{-\infty}^{+\infty} h(s) R_{dx}(s) ds + \int_{-\infty}^{+\infty} h(s_2) \int_{-\infty}^{+\infty} h(s_1) R_x(s_2-s_1) d s_1 d s_2 \quad (*)\end{aligned}$$

Ora calcoliamo la derivata di $\mathcal{E}(h)$ rispetto ad $h(t)$.

Quanto è una derivata che si definisce nel
"Calcolo delle variazioni" (derivata di Frechet). Non serve più
pensare a tutte le tecniche, basta pensare all'interpretazione
come una contrazione lineare.

$$\begin{aligned}\frac{\partial \mathcal{E}}{\partial h(z)} &= \frac{\partial}{\partial h(t)} E\left[\left(d(h) - \int_{-\infty}^{+\infty} h(s) x(t-s) ds\right)^2\right] \\ &= E\left[\frac{\partial}{\partial h(t)} \left(d(h) - \int_{-\infty}^{+\infty} h(s) x(t-s) ds\right)^2\right] \\ &= E\left[2 \left(d(h) - \int_{-\infty}^{+\infty} h(s) x(t-s) ds\right) (-x(t-z))\right] \\ &= -2 R_{dx}(z) + 2 \int_{-\infty}^{+\infty} h(s) E[x(t-s)x(t-z)] ds \\ &= -2 R_{dx}(z) + 2 \int_{-\infty}^{+\infty} h(s) R_x(z-s) ds \quad (*)\end{aligned}$$

la soluzione $h^*(t)$ si ottiene ponendo la
derivate uguale a zero

MD.3

$$\int_{-\infty}^{+\infty} h^*(s) R_x(z-s) ds = R_{dx}(z) \quad \text{EQUAZIONE NORMALE.}$$

Essendo la funzione di costo quadratico (a meno di singolarità) la soluzione è unica.

Si tratta di un punto di minimo, che per verificare possiamo valutare la derivate seconda (derivata ℓ'')

$$\frac{\partial^2 h}{\partial z^2} = 2 R_x(z-z) = 2 R_x(0) > 0$$

L'equazione normale è più facilmente risolta nel dominio delle frequenze

$$H^*(f) P_x(f) = P_{dx}(f)$$

$$H^*(f) = \frac{P_{dx}(f)}{P_x(f)}$$

FILTRO DI WIENER (NON CAUSALE)

La soluzione ottenuta è reale e ed è stata ottenuta senza imporre alcun vincolo. Tuttavia, come vedremo degli esempi non è tecnicamente facilmente realizzabile ($h(t) \neq 0 \ \forall t$, ovvero non causale).

Nella letteratura ci sono soluzioni più articolate in cui viene posto il vincolo di causalità. Troveremo aperte estensioni qui visto lo naturale intuтивismo di questa note. Tra l'altro come vedremo negli esempi, e come abbiamo visto anche in altri casi, una risposta causale appropriata può essere ottenuta ponendo a tendenza $h^*(t)$.

E' utile volertere anche l'errore quadratico medio
risultante dal filtraggio ottimo. Da (**) MD.4

$$E(h^0) = \sigma_d^2 - 2 \int_{-\infty}^{+\infty} h^0(s) R_{dx}(s) s + \int_{-\infty}^{+\infty} h^0(s_1) \int_{-\infty}^{+\infty} h^0(s_2) R_x(s_2 - s_1) ds_1 ds_2$$

$$R_{dx}(s_2)$$

$$E(h^0) = \sigma_d^2 - \int_{-\infty}^{+\infty} h^0(s) R_{dx}(s) ds$$

che si puo scrivere usando $H(f) \approx P_{dx}(f)$
come

$$E(h^0) = \sigma_d^2 - \int_{-\infty}^{+\infty} H(f) P_{dx}(f) df$$

$$= \sigma_d^2 - \int_{-\infty}^{+\infty} \frac{P_{dx}(f)}{P_x(f)} df$$

SEGNALE + RUMORE

La applicazione tipica del filtraggio di Wiener è ad un segnale ricevuto in presenza di rumore additivo.



Qui il segnale reale ricevuto $s(t)$ è il "denoising".
Anche il segnale reale ricevuto medie nulla.
Ammesso anche al solito ricezione medie nulla
e stazionario il $s(t)$ e $u(t)$ incoerenti. La autocorrelazione
di $x(t)$ è quindi

$$R_x(z) = R_s(z) + R_{uu}(z)$$

e la nostra correlazione

$$R_{sx}(z) = E[s(t)x(t-z)] = E[s(t)(s(t-z) + u(t-z))] = R_s(z)$$

Ora si ha

$$\boxed{H^*(f) = \frac{P_s(f)}{P_s(f) + P_u(f)}}$$

Definendo il rapporto segnale-rumore "input"

$SNR(f) = \frac{P_s(f)}{P_u(f)}$, siamo in grado di ricevere la relazione

$$\boxed{H^*(f) = \frac{1}{1 + \frac{1}{SNR(f)}}}$$

Per capire meglio cosa significa la relazione
ottenuta, consideriamo due frequenze f_1 e f_2 . Il quodico
a f_1 sarà maggiore di quello a f_2

$$\frac{1}{1 + \frac{1}{SNR(f_1)}} > \frac{1}{1 + SNR(f_2)}$$

se

$$1 + \frac{1}{\text{SNR}(f_1)} < 1 + \frac{1}{\text{SNR}(f_2)}$$

$$\text{SNR}(f_1) > \text{SNR}(f_2)$$

Anzi il filtro "regole" è $\text{SNR}(f)$, ovvero enfatizza le bande dove c'è più segnale.

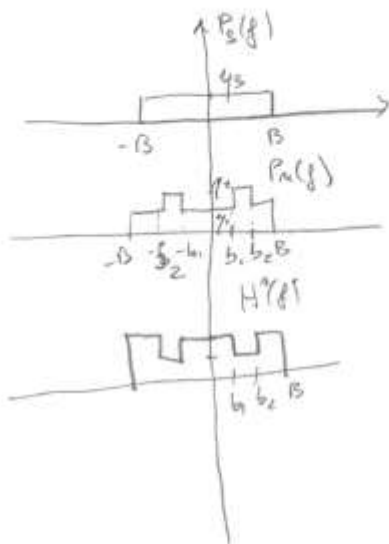
[tra reteggiere facilmente realizzabile di $H^*(f)$, ovviamente prima di tutto che $H^*(f)$ è reale e positivo, può essere usato come specifico di applicazione, quando le fasi.]

La distorsione in condizioni di ottimalità è

$$E(h^*) = G_s^2 + \int_{-\infty}^{+\infty} \frac{P_s^2(f)}{P_s(f) + P_d(f)} df$$

Si noti che la distorsione è una misura più appropriata del rapporto segnale-rumore in uscita in quanto il segnale è detectato ed è considerato al termine residuo.

$$y(t) = \underbrace{(h^* * s)(t)}_{S_R(t)} + \underbrace{(h^* * u)(t)}_{M_R(t)}$$

ESEMPIO

Risulta piatto ma con uno
maggior peso nelle bande $[b_1, b_2]$.

$$H^o(f) = \frac{P_s(f)}{P_s(f) + P_n(f)}$$

$$H^o(f) = \begin{cases} \frac{y_s}{y_s + y_1} & |f| \in [0, B] \sim [b_1, b_2] \\ \frac{y_s}{y_s + y_2} & |f| \in [b_1, b_2] \end{cases}$$

Note che il predfiltro è più piccolo nelle bande $[b_1, b_2]$.
Il filtro tende a attenuare regolare e rimanere nella
banda più numerosa. Il risultato è un conseguente
aumento del rumore e diminuzione del risalto.

Scalando tutto secondo il predfiltro del filtro y_1 ,

$$H^o(f)_{\text{scalato}} = \begin{cases} 1 & |f| \in [0, B] \sim [b_1, b_2] \\ \frac{y_s + y_1}{y_s + y_2} < 1 & f \in [b_1, b_2] \end{cases}$$

La distorsione in condizioni di ottimalità è

$$\begin{aligned} E[\epsilon^2] &= P_s - \int_{-\infty}^{\infty} \frac{P_s(f)^2}{P_s(f) + P_n(f)} df = 2B y_s - 2 \int_0^{b_1} \frac{y_s^2}{y_s + y_1} df - 2 \int_{b_1}^{b_2} \frac{y_1^2}{y_1 + y_2} df - 2 \int_{b_2}^B \frac{y_s^2}{y_s + y_1} df \\ &= 2B y_s - 2 \frac{y_s^2}{y_s + y_1} b_1 - 2 \frac{y_1^2}{y_1 + y_2} (b_2 - b_1) - 2 \frac{y_s^2}{y_s + y_1} (B - b_2) \\ &= 2B y_s - 2 \frac{y_s^2}{y_s + y_1} (B - b_2 + b_1) - 2 \frac{y_1^2}{y_1 + y_2} (b_2 - b_1) \end{aligned}$$

Da confrontare con quelle prima del filtro

$$E[(\hat{x}(t) - x(t))^2] = E[x^2(t)] = P_n = 2 y_1 (B - b_2 + b_1) + 2 y_2 (b_2 - b_1)$$